

Starkniederschlagshöhen und -spenden gemäß KOSTRA-DWD-2010R

Auswertungszeitraum von 1951 - 2010, Januar - Dezember

Rasterfeld: 91061

Zeile: 91

Spalte: 61

Seite: 1/2

| Dauerstufe D | Wiederkehrzeit T | | | | | | | | | | | | | | | | | | |
|--------------|------------------|------|------------|------|------------|------|------------|------|------------|-------|------------|-------|------------|-------|------------|-------|------------|-------|------------|
| | 1 a | | 2 a | | 3 a | | 5 a | | 10 a | | 20 a | | 30 a | | 50 a | | 100 a | | |
| min | Std | mm | l / (s ha) | mm | l / (s ha) | mm | l / (s ha) | mm | l / (s ha) | mm | l / (s ha) | mm | l / (s ha) | mm | l / (s ha) | mm | l / (s ha) | mm | l / (s ha) |
| 5 | | 5,4 | 180,0 | 7,4 | 246,7 | 8,6 | 286,7 | 10,1 | 336,7 | 12,2 | 406,7 | 14,2 | 473,3 | 15,4 | 513,3 | 16,9 | 563,3 | 18,9 | 630,0 |
| 10 | | 8,8 | 146,7 | 11,5 | 191,7 | 13,1 | 218,3 | 15,1 | 251,7 | 17,8 | 296,7 | 20,5 | 341,7 | 22,0 | 366,7 | 24,0 | 400,0 | 26,7 | 445,0 |
| 15 | | 11,1 | 123,3 | 14,3 | 158,9 | 16,2 | 180,0 | 18,5 | 205,6 | 21,7 | 241,1 | 24,9 | 276,7 | 26,8 | 297,8 | 29,1 | 323,3 | 32,3 | 358,9 |
| 20 | | 12,8 | 106,7 | 16,4 | 136,7 | 18,5 | 154,2 | 21,1 | 175,8 | 24,7 | 205,8 | 28,3 | 235,8 | 30,4 | 253,3 | 33,1 | 275,8 | 36,6 | 305,0 |
| 30 | | 15,1 | 83,9 | 19,3 | 107,2 | 21,8 | 121,1 | 24,9 | 138,3 | 29,2 | 162,2 | 33,4 | 185,6 | 35,9 | 199,4 | 39,0 | 216,7 | 43,2 | 240,0 |
| 45 | | 17,1 | 63,3 | 22,2 | 82,2 | 25,1 | 93,0 | 28,8 | 106,7 | 33,8 | 125,2 | 38,8 | 143,7 | 41,7 | 154,4 | 45,4 | 168,1 | 50,4 | 186,7 |
| 60 | | 18,4 | 51,1 | 24,0 | 66,7 | 27,3 | 75,8 | 31,5 | 87,5 | 37,1 | 103,1 | 42,7 | 118,6 | 46,0 | 127,8 | 50,2 | 139,4 | 55,8 | 155,0 |
| 90 | | 20,5 | 38,0 | 26,7 | 49,4 | 30,3 | 56,1 | 34,9 | 64,6 | 41,1 | 76,1 | 47,3 | 87,6 | 50,9 | 94,3 | 55,4 | 102,6 | 61,6 | 114,1 |
| 120 | 2 | 22,2 | 30,8 | 28,8 | 40,0 | 32,6 | 45,3 | 37,5 | 52,1 | 44,1 | 61,3 | 50,8 | 70,6 | 54,6 | 75,8 | 59,5 | 82,6 | 66,1 | 91,8 |
| 180 | 3 | 24,7 | 22,9 | 32,0 | 29,6 | 36,2 | 33,5 | 41,6 | 38,5 | 48,9 | 45,3 | 56,1 | 51,9 | 60,4 | 55,9 | 65,7 | 60,8 | 73,0 | 67,6 |
| 240 | 4 | 26,7 | 18,5 | 34,5 | 24,0 | 39,0 | 27,1 | 44,7 | 31,0 | 52,5 | 36,5 | 60,3 | 41,9 | 64,8 | 45,0 | 70,6 | 49,0 | 78,4 | 54,4 |
| 360 | 6 | 29,7 | 13,8 | 38,3 | 17,7 | 43,3 | 20,0 | 49,6 | 23,0 | 58,1 | 26,9 | 66,7 | 30,9 | 71,7 | 33,2 | 78,0 | 36,1 | 86,5 | 40,0 |
| 540 | 9 | 33,1 | 10,2 | 42,5 | 13,1 | 48,0 | 14,8 | 55,0 | 17,0 | 64,4 | 19,9 | 73,8 | 22,8 | 79,3 | 24,5 | 86,2 | 26,6 | 95,6 | 29,5 |
| 720 | 12 | 35,8 | 8,3 | 45,8 | 10,6 | 51,7 | 12,0 | 59,1 | 13,7 | 69,2 | 16,0 | 79,2 | 18,3 | 85,1 | 19,7 | 92,5 | 21,4 | 102,6 | 23,8 |
| 1080 | 18 | 39,9 | 6,2 | 51,0 | 7,9 | 57,4 | 8,9 | 65,6 | 10,1 | 76,6 | 11,8 | 87,7 | 13,5 | 94,1 | 14,5 | 102,3 | 15,8 | 113,3 | 17,5 |
| 1440 | 24 | 43,1 | 5,0 | 54,9 | 6,4 | 61,8 | 7,2 | 70,5 | 8,2 | 82,4 | 9,5 | 94,2 | 10,9 | 101,1 | 11,7 | 109,8 | 12,7 | 121,6 | 14,1 |
| 2880 | 48 | 52,8 | 3,1 | 68,1 | 3,9 | 77,1 | 4,5 | 88,4 | 5,1 | 103,8 | 6,0 | 119,1 | 6,9 | 128,1 | 7,4 | 139,4 | 8,1 | 154,8 | 9,0 |
| 4320 | 72 | 59,4 | 2,3 | 76,8 | 3,0 | 87,0 | 3,4 | 99,9 | 3,9 | 117,3 | 4,5 | 134,7 | 5,2 | 144,9 | 5,6 | 157,8 | 6,1 | 175,2 | 6,8 |

Angaben in mm: Bemessungsniederschlagswerte h(n)

Angaben in l / (s ha): Regenspende R(n) mit $R(n) = h(n) \times 1,666667 / D[\text{min}]$

Toleranzbereiche:

+/- 10 % für $1 a \leq T \leq 5 a$

+/- 15 % für $5 a < T \leq 50 a$

+/- 20 % für $50 a < T \leq 100 a$

Datenbasis: KOSTRA-DWD-2010R des Deutschen Wetterdienstes. Die Regenspende wurde auf Basis des Bemessungsniederschlags zur jeweiligen Andauer berechnet.

Für die Richtigkeit und Aktualität der Angaben wird keine Gewähr übernommen. Erstellt 07/2022.

Starkniederschlagshöhen und -spenden gemäß KOSTRA-DWD-2010R

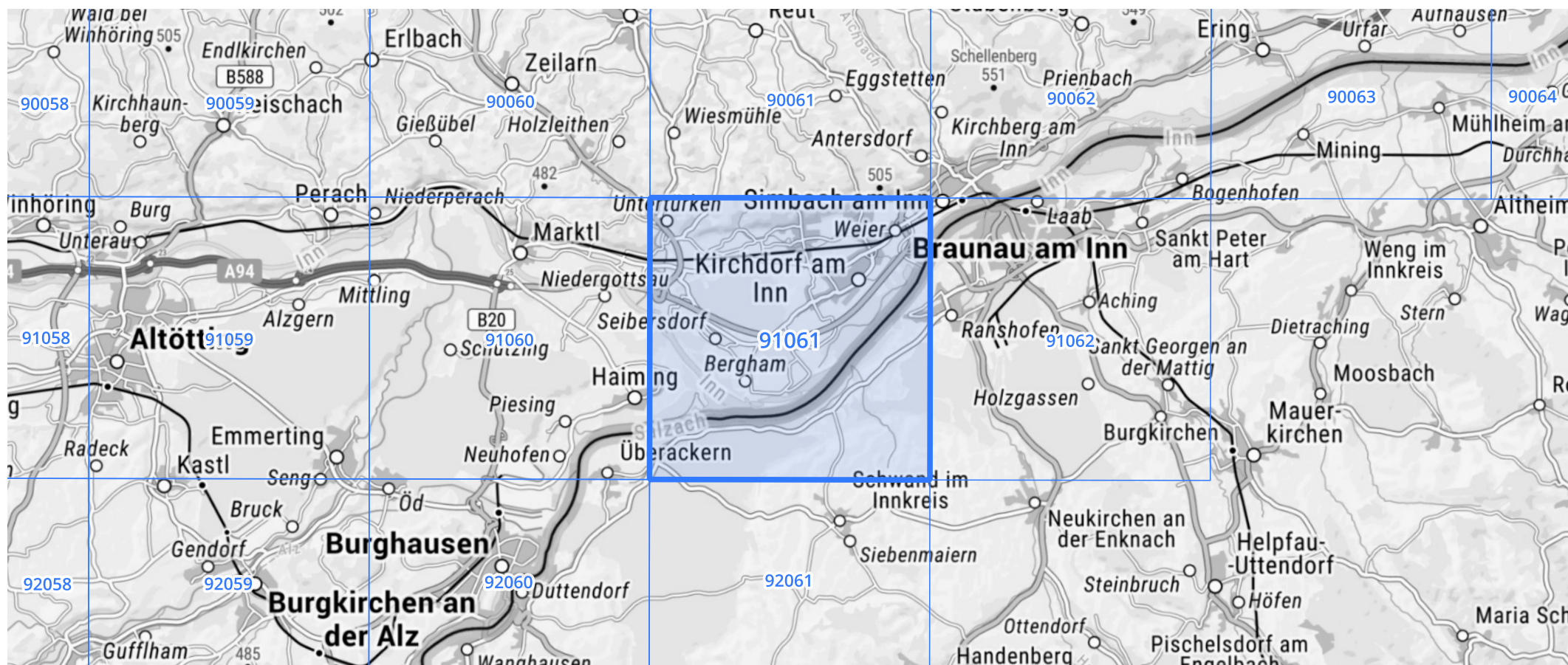
Auswertungszeitraum von 1951 - 2010, Januar - Dezember

Rasterfeld: 91061

Zeile: 91

Spalte: 61

Seite: 2/2



Quelle Rasterdaten: KOSTRA-DWD-2010R des Deutschen Wetterdienstes.

Kartendarstellung: © Bundesamt für Kartographie und Geodäsie (2022), Datenquellen: https://sgx.geodatenzentrum.de/web_public/gdz/datenquellen/Datenquellen_TopPlusOpen.html

Für die Richtigkeit und Aktualität der Angaben wird keine Gewähr übernommen. Erstellt 07/2022.